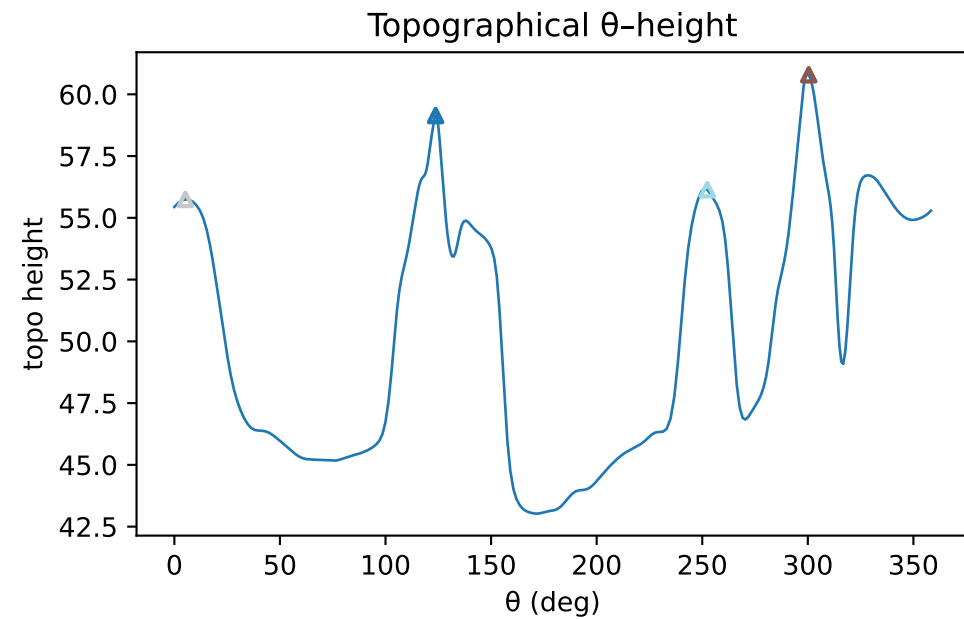
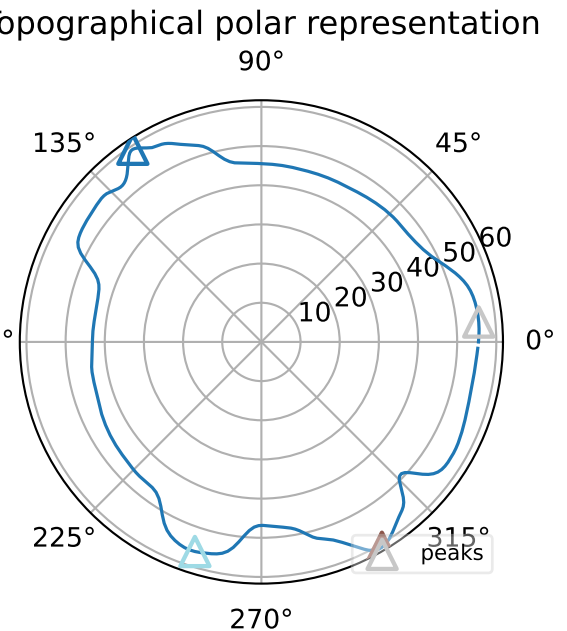
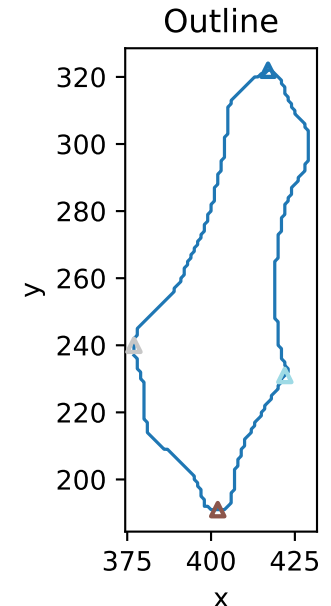
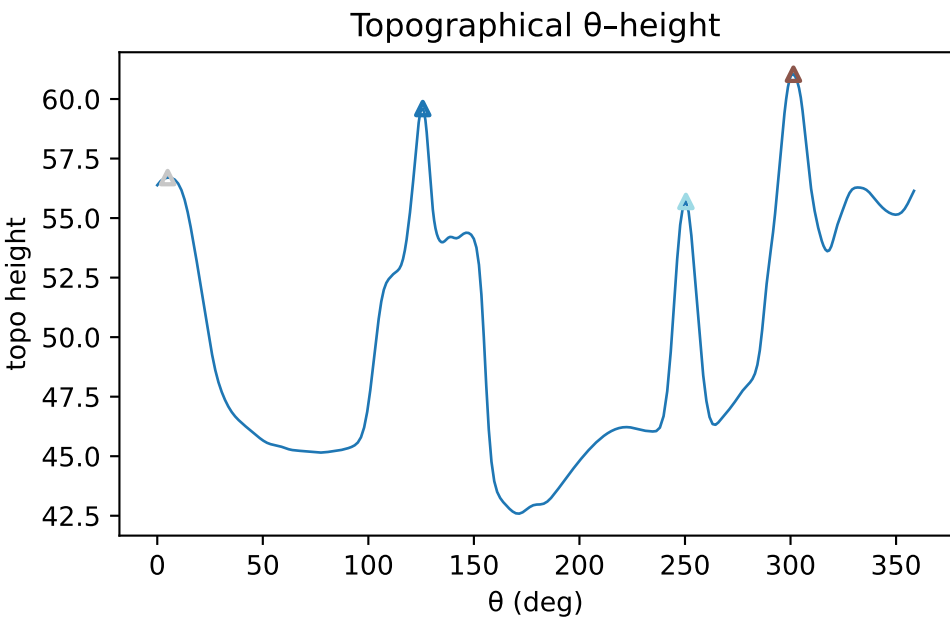
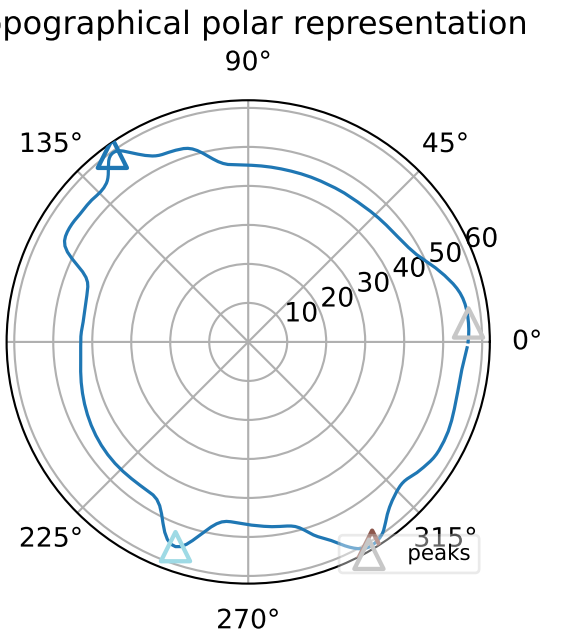
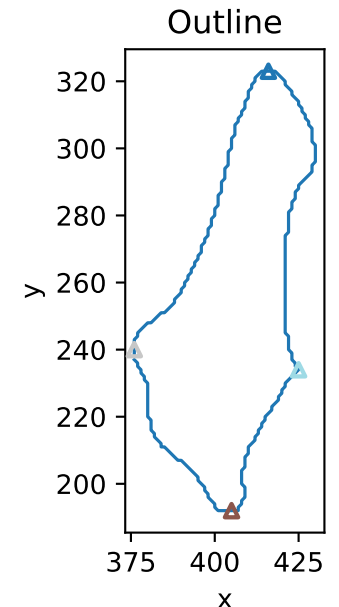


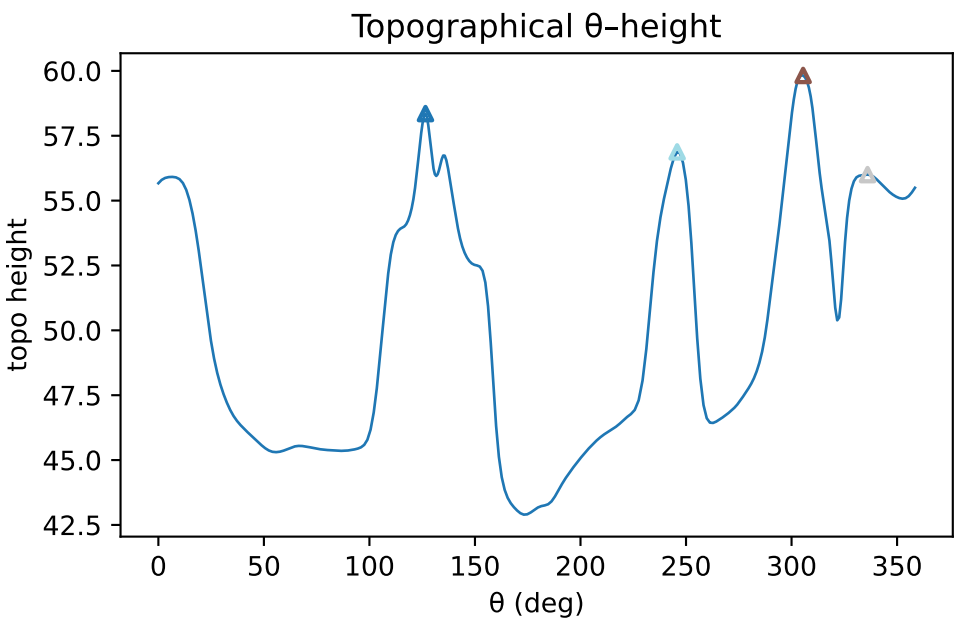
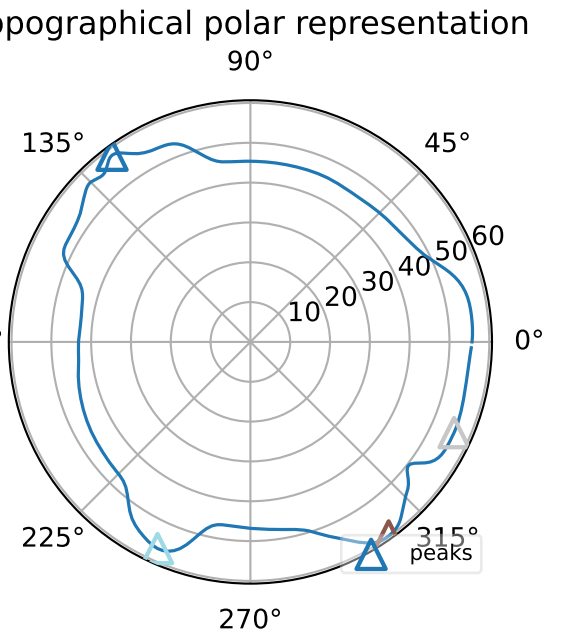
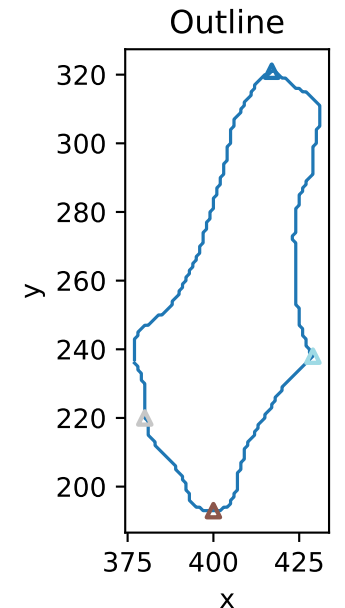
Frame 0 | t=209.000



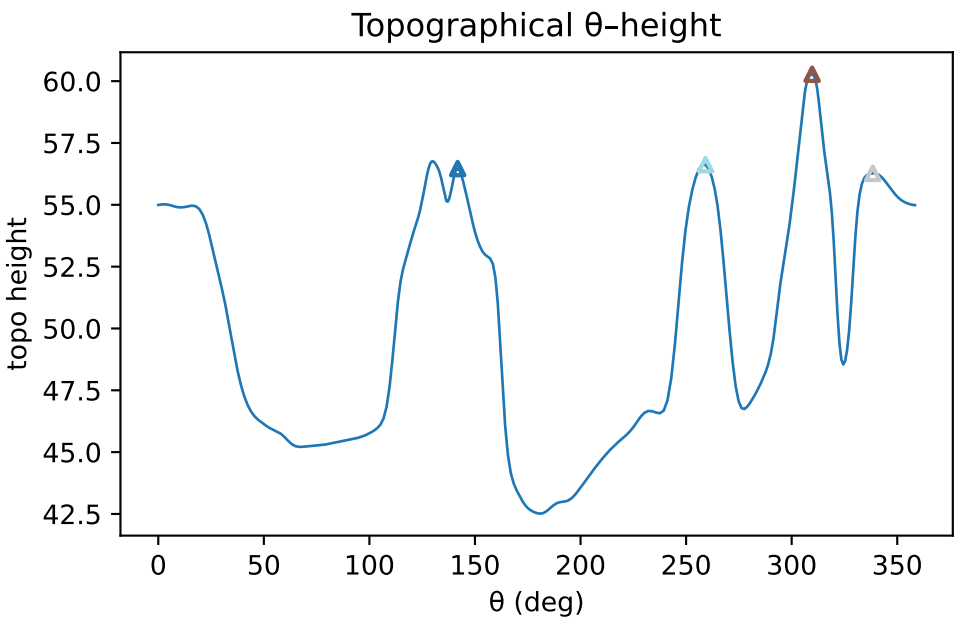
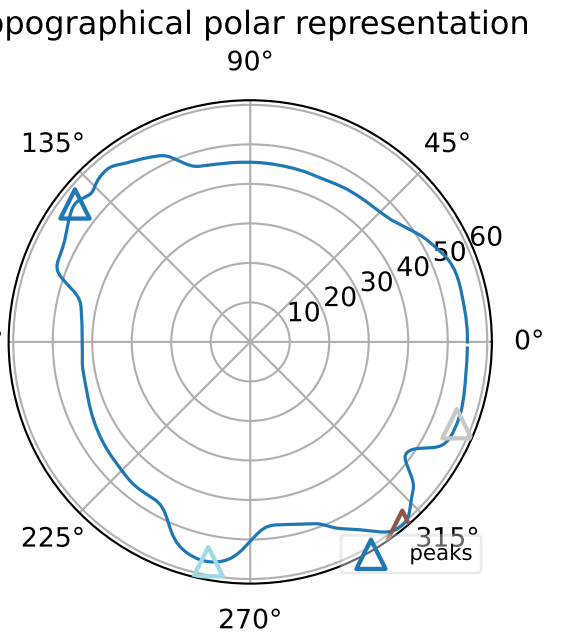
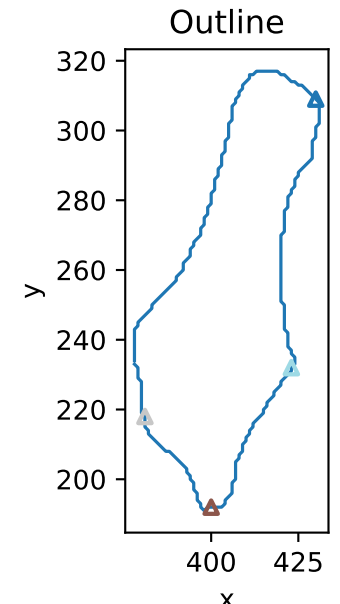
Frame 1 | t=210.000



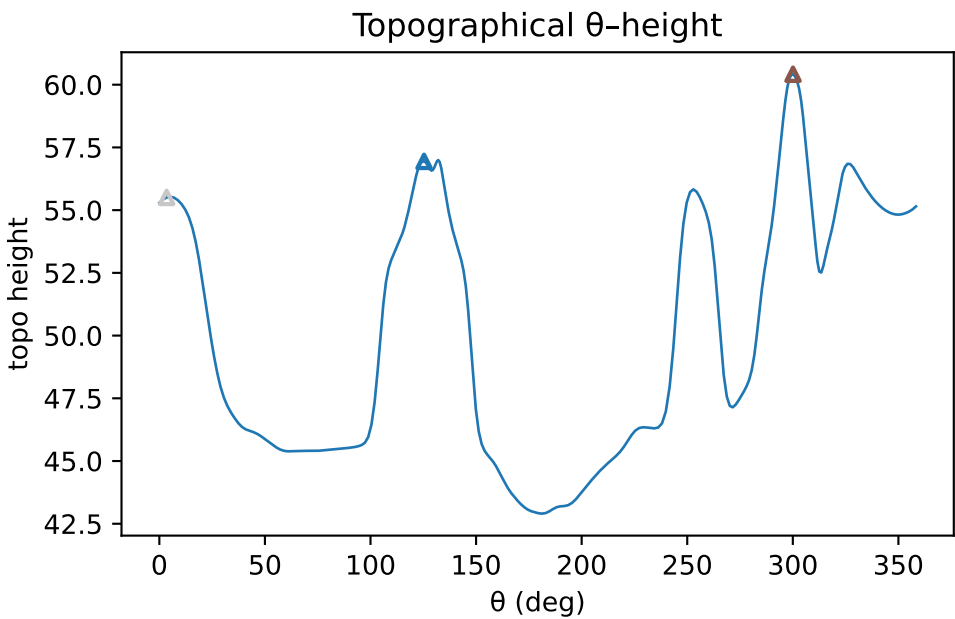
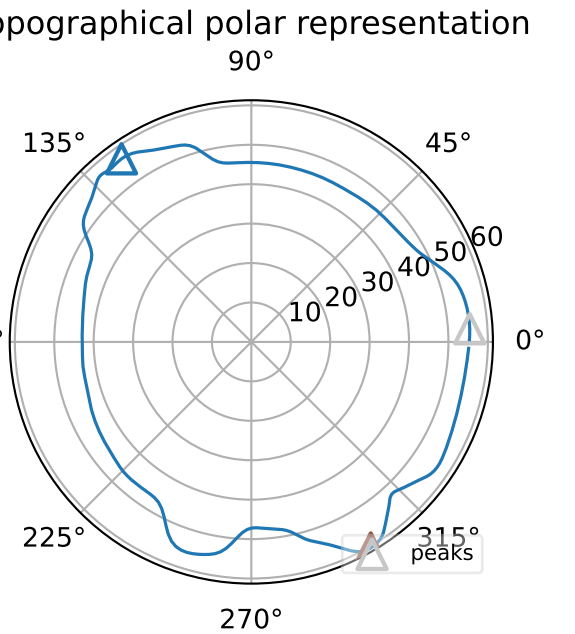
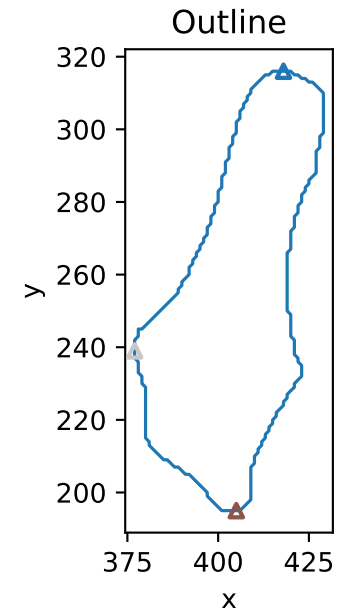
Frame 2 | t=215.000



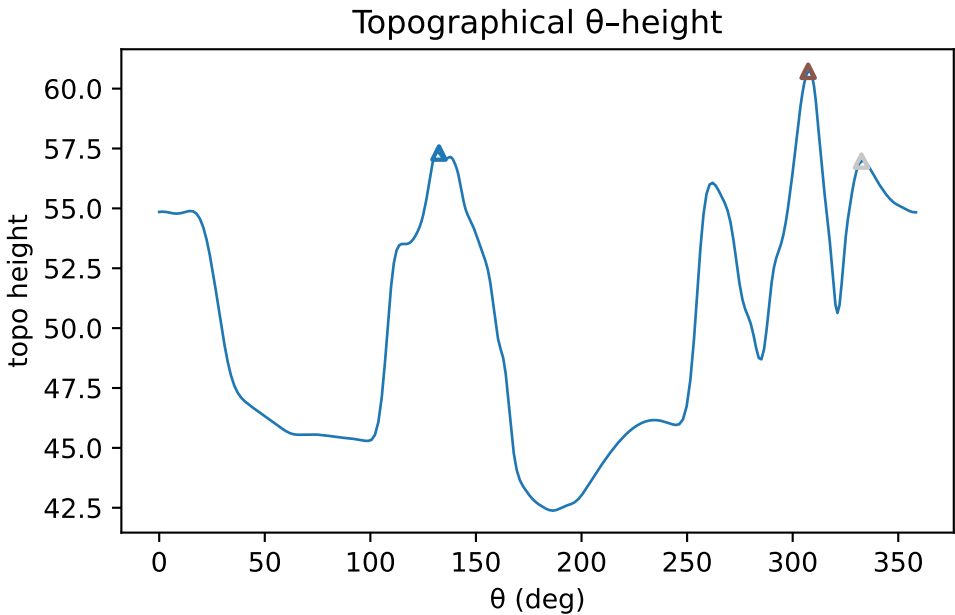
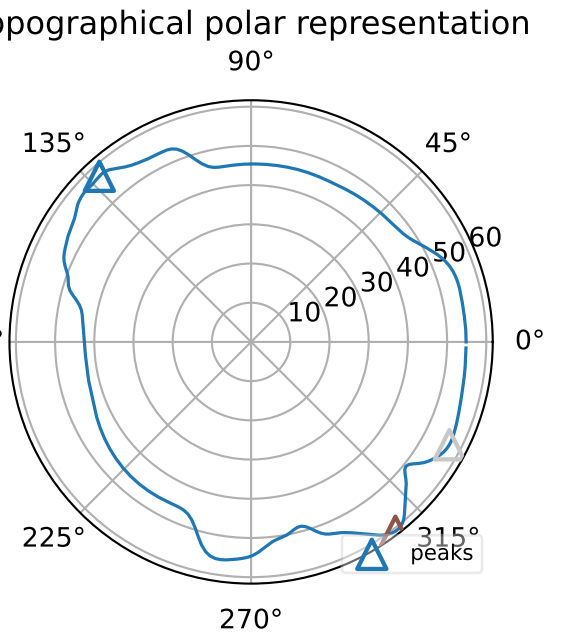
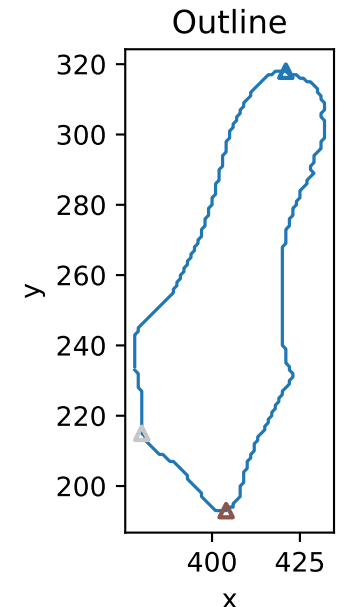
Frame 3 | t=216.000



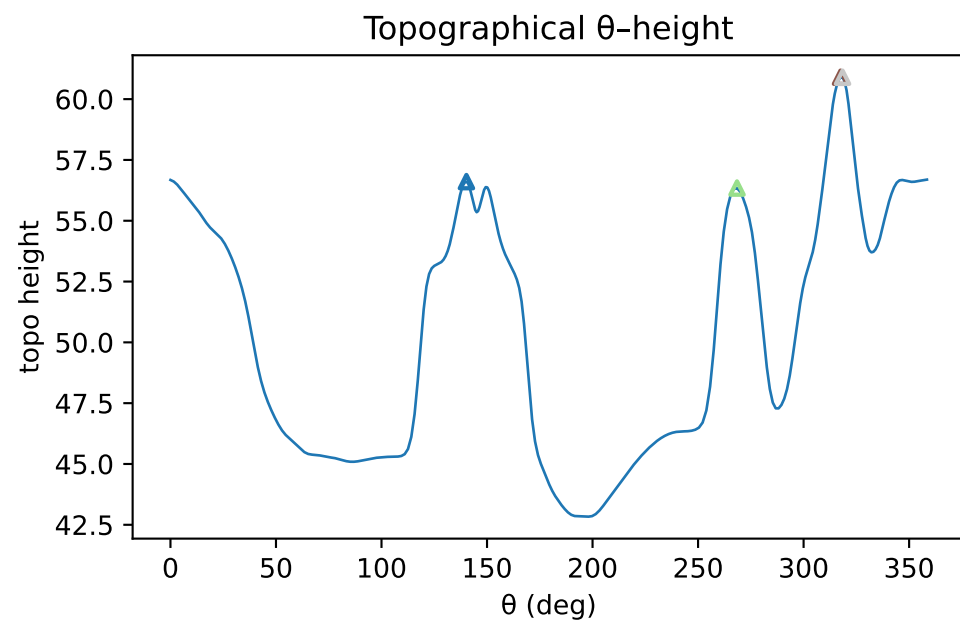
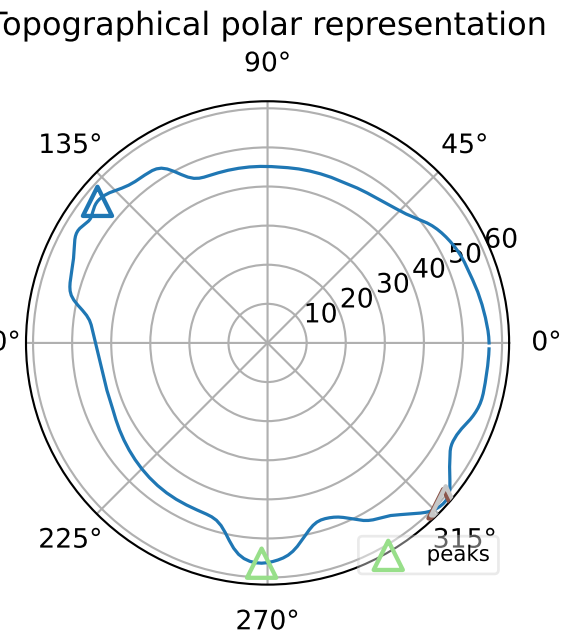
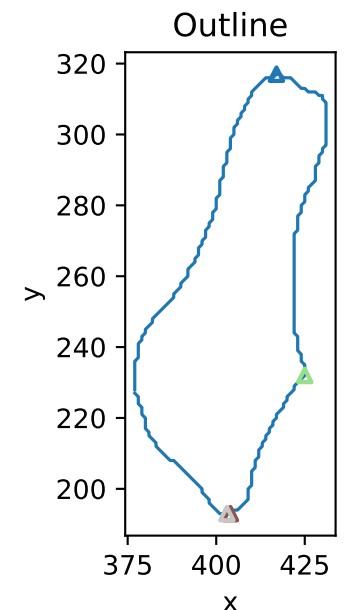
Frame 4 | t=217.000



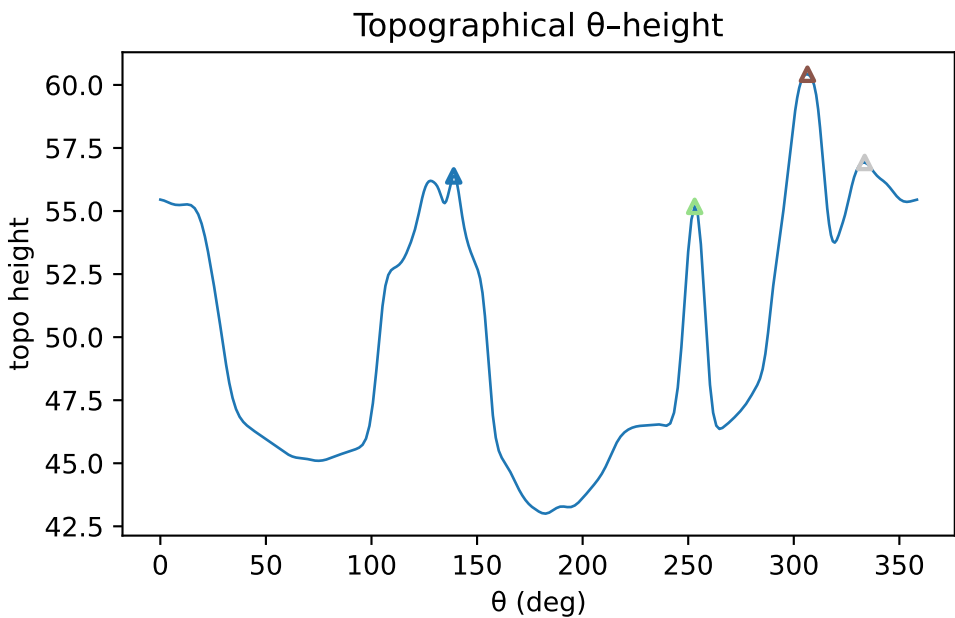
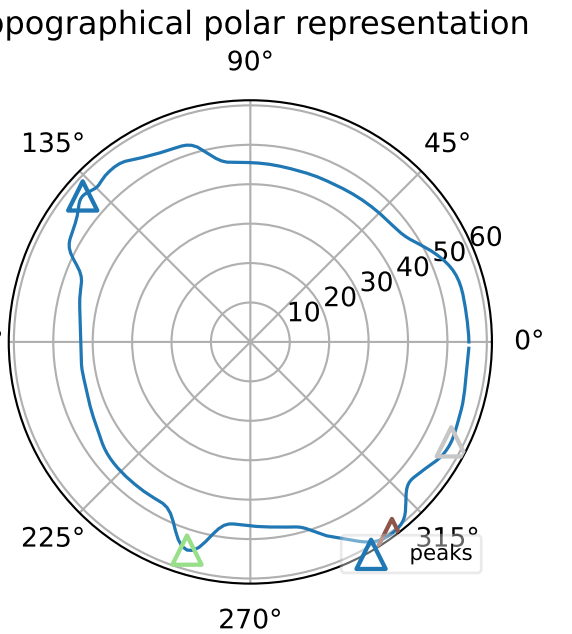
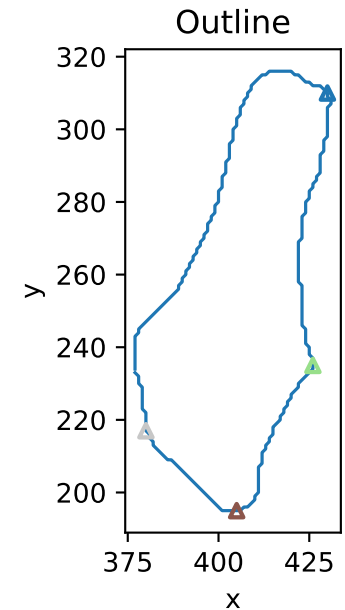
Frame 5 | t=219.000



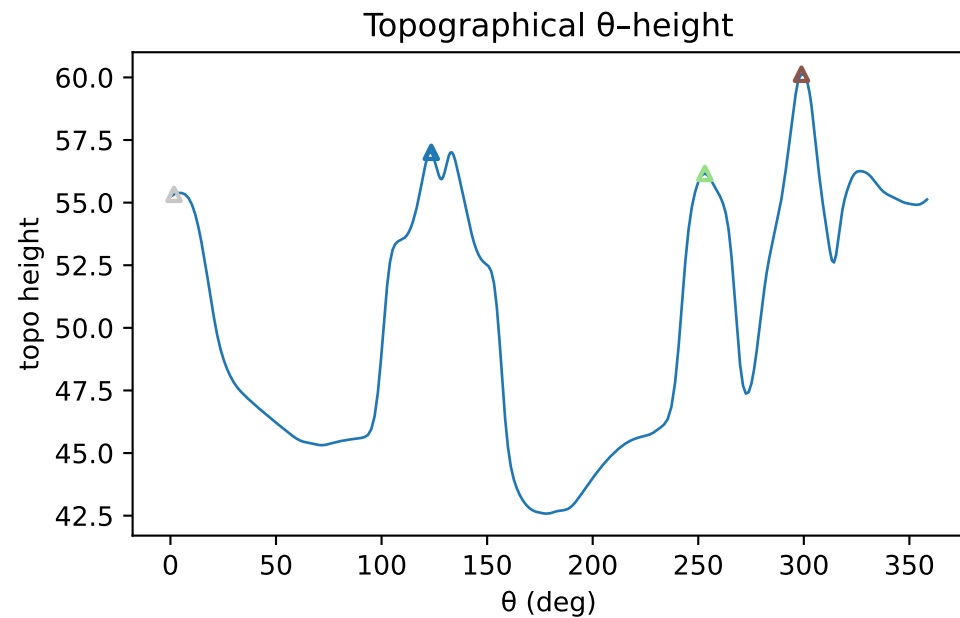
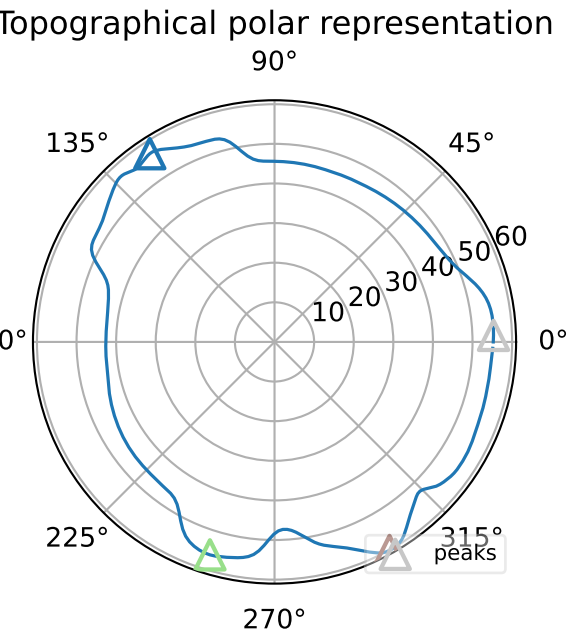
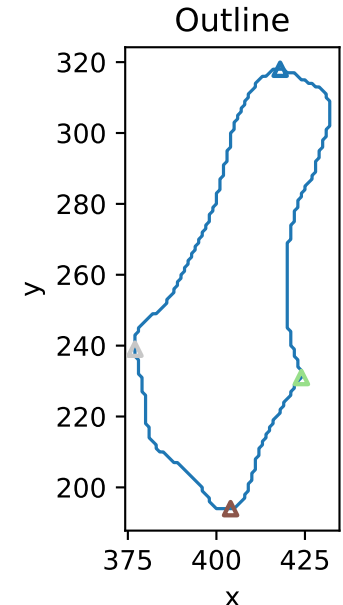
Frame 6 | t=220.000



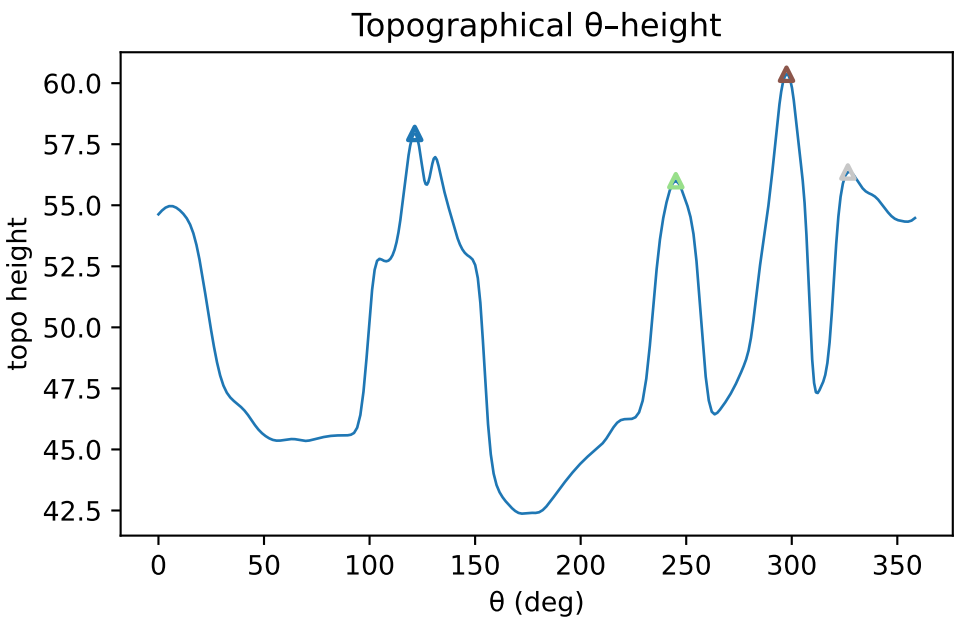
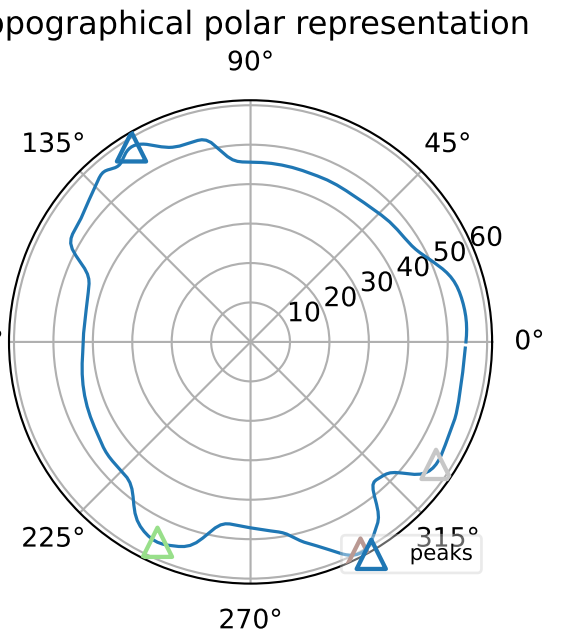
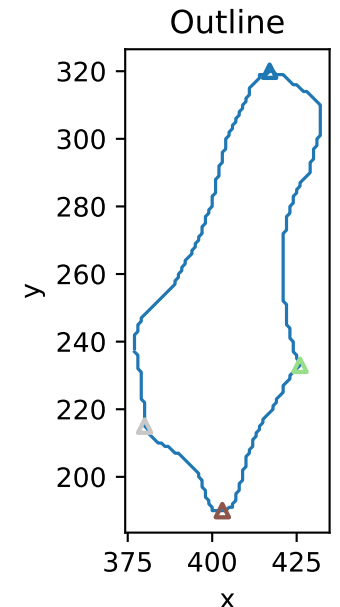
Frame 7 | t=221.000



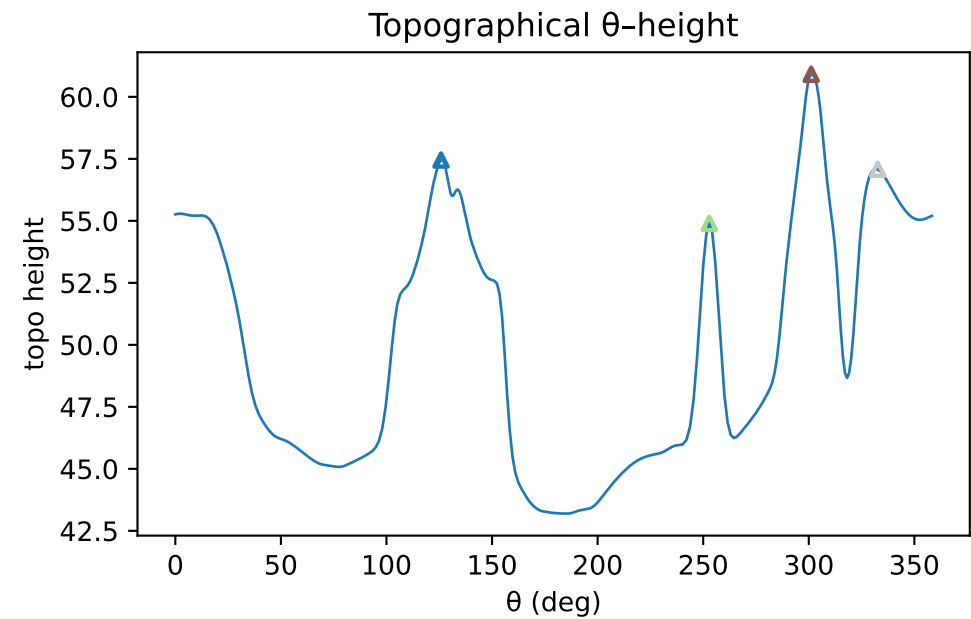
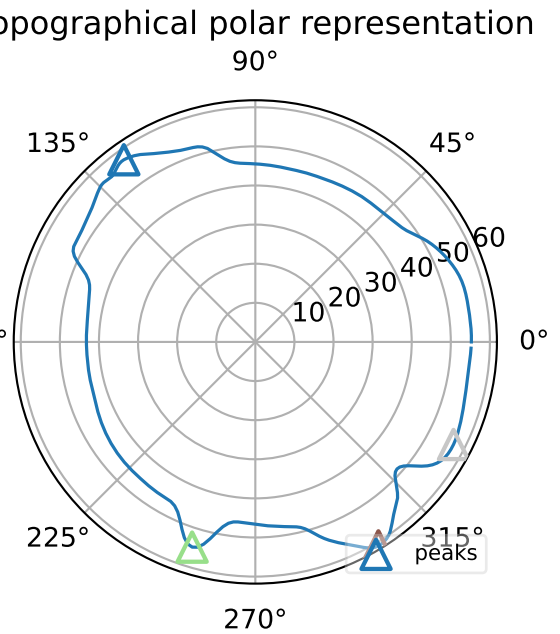
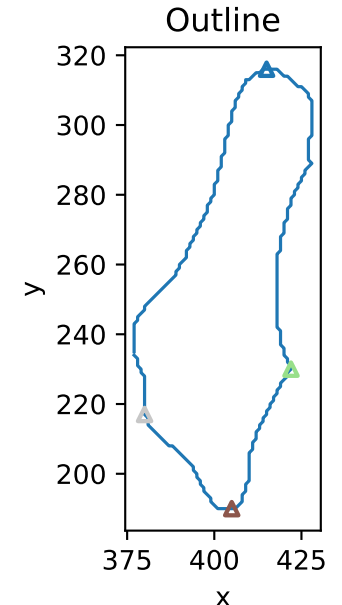
Frame 8 | t=222.000



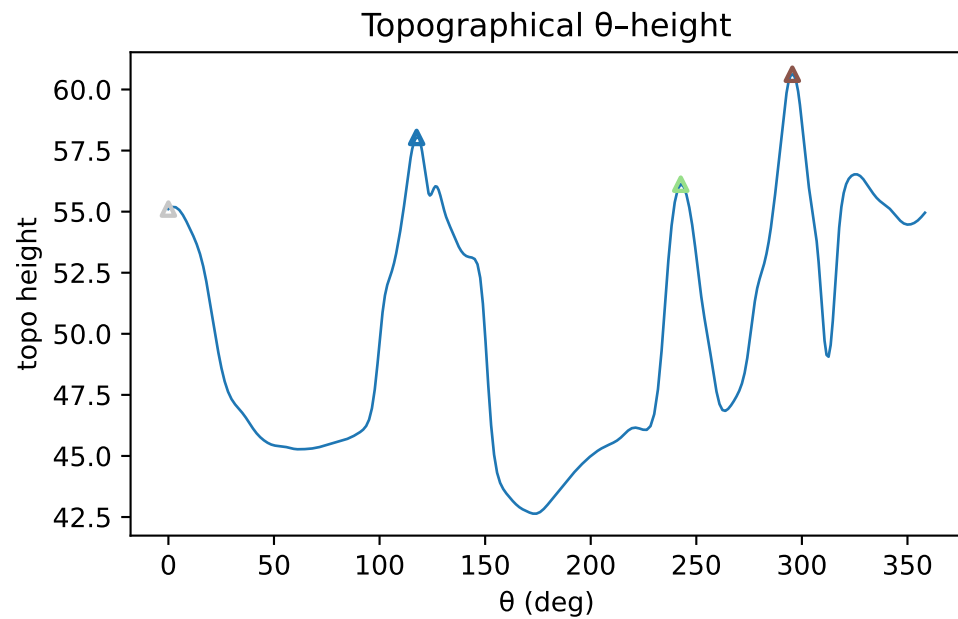
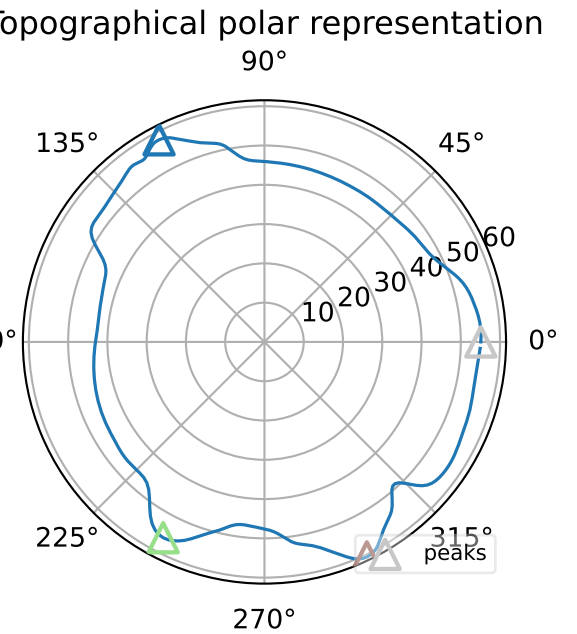
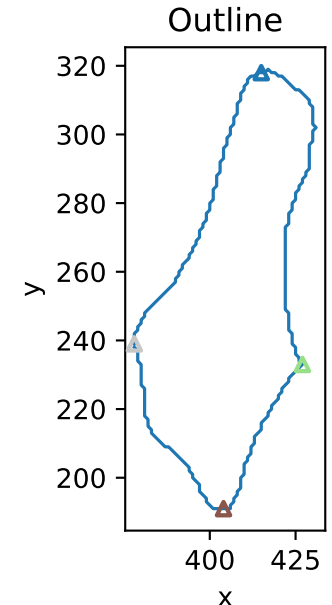
Frame 9 | t=223.000



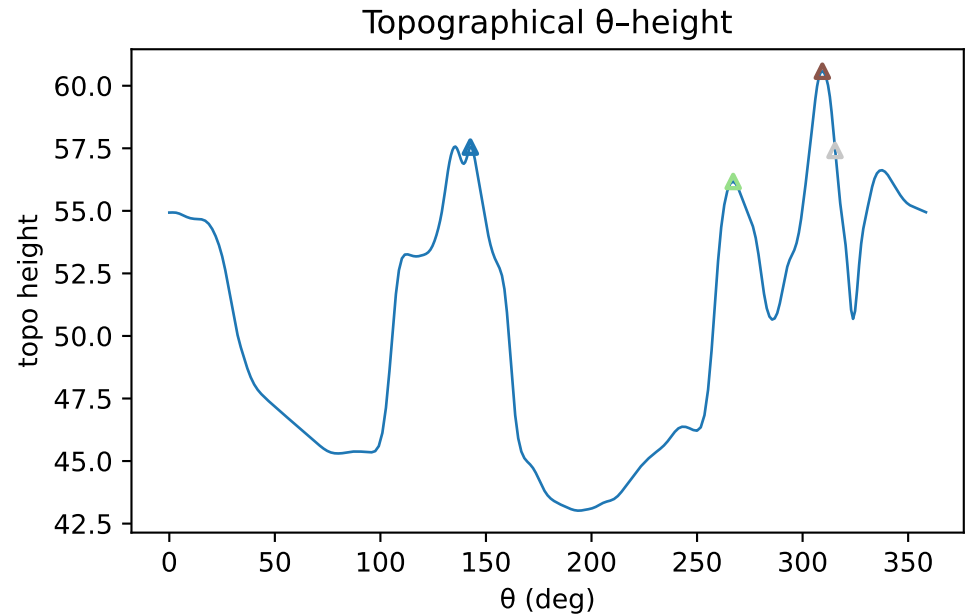
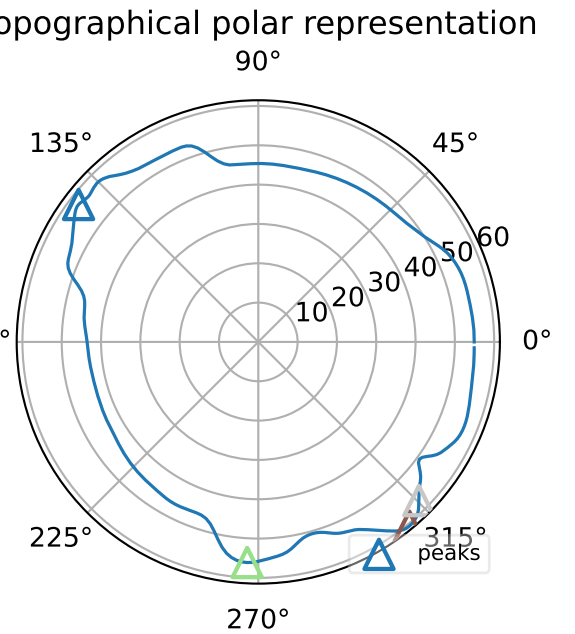
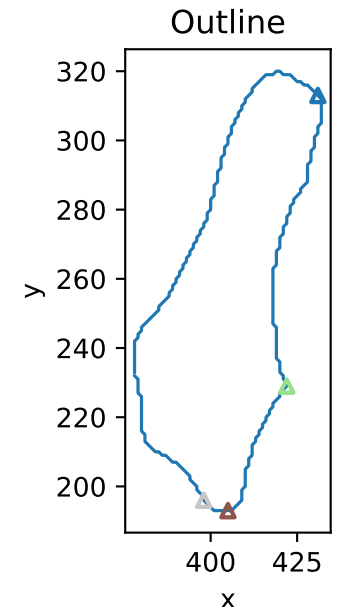
Frame 10 | t=224.000



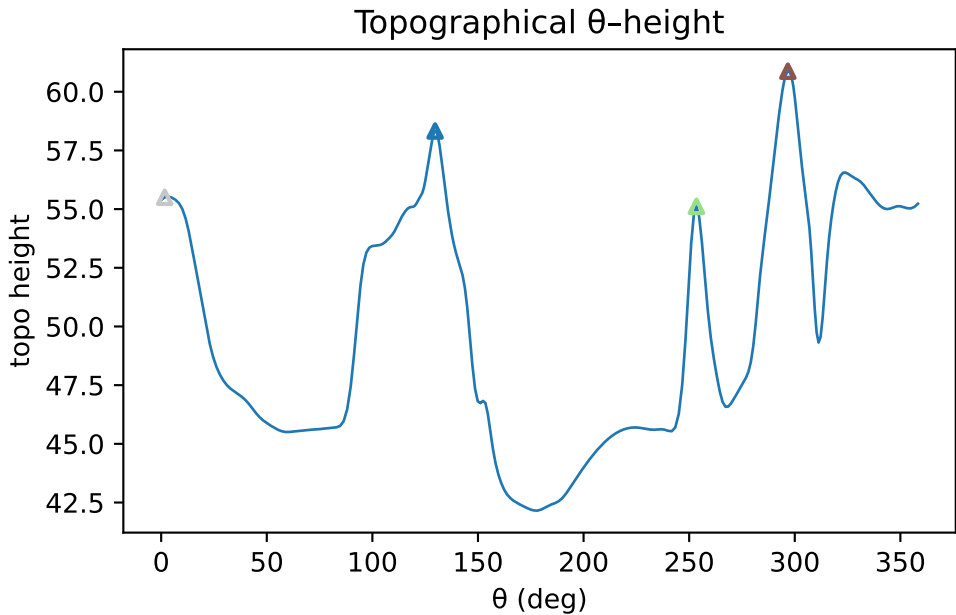
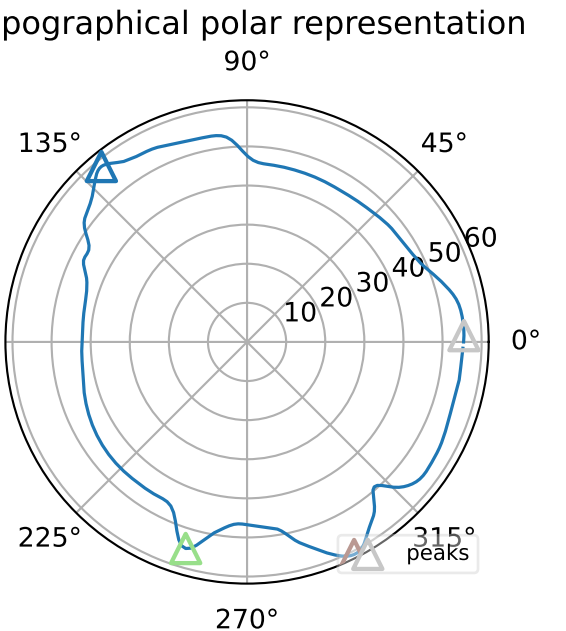
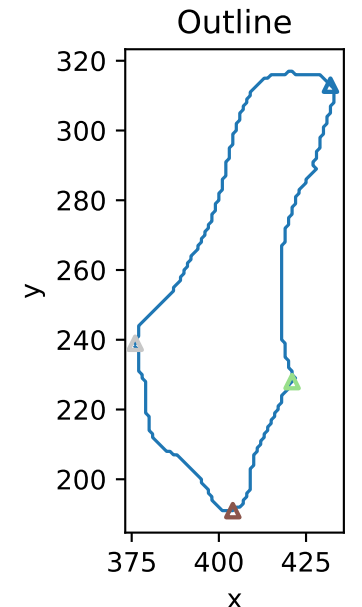
Frame 11 | t=225.000



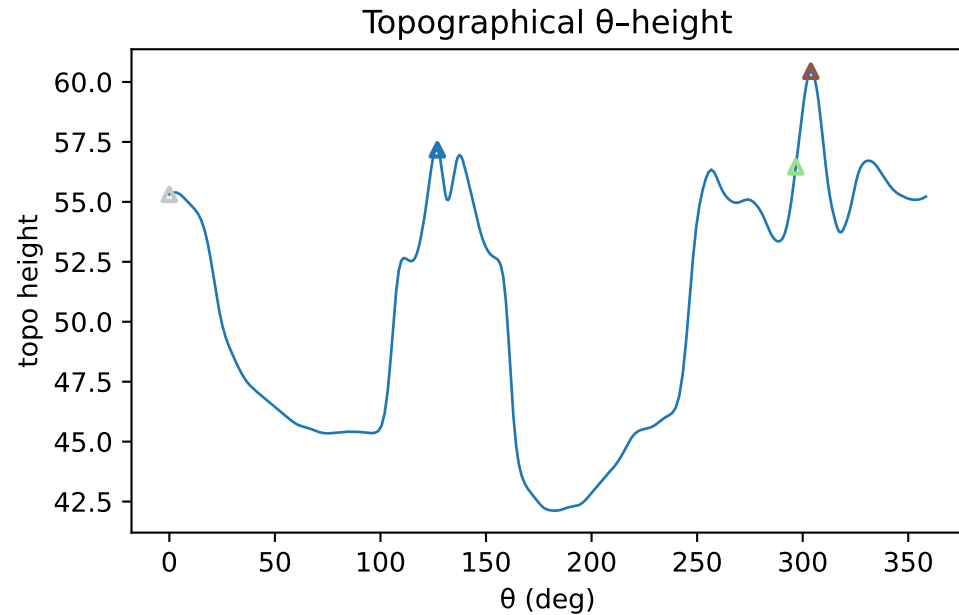
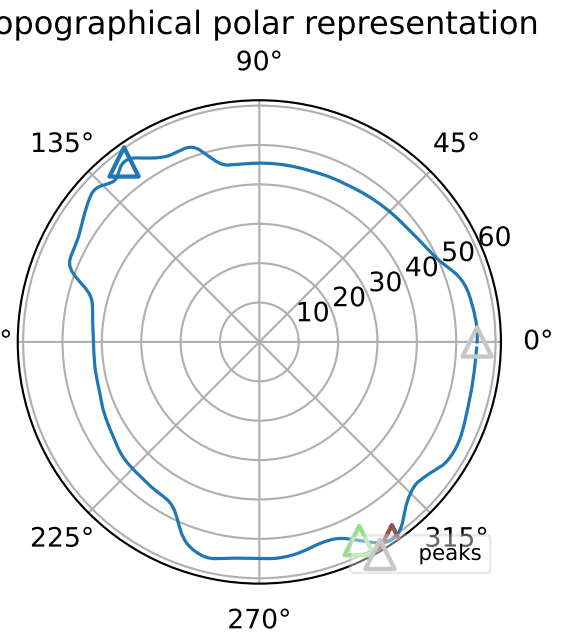
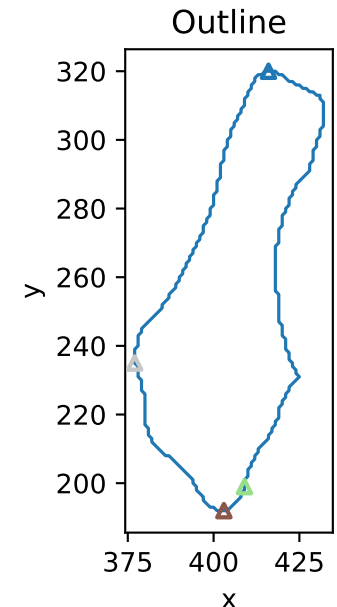
Frame 12 | t=226.000



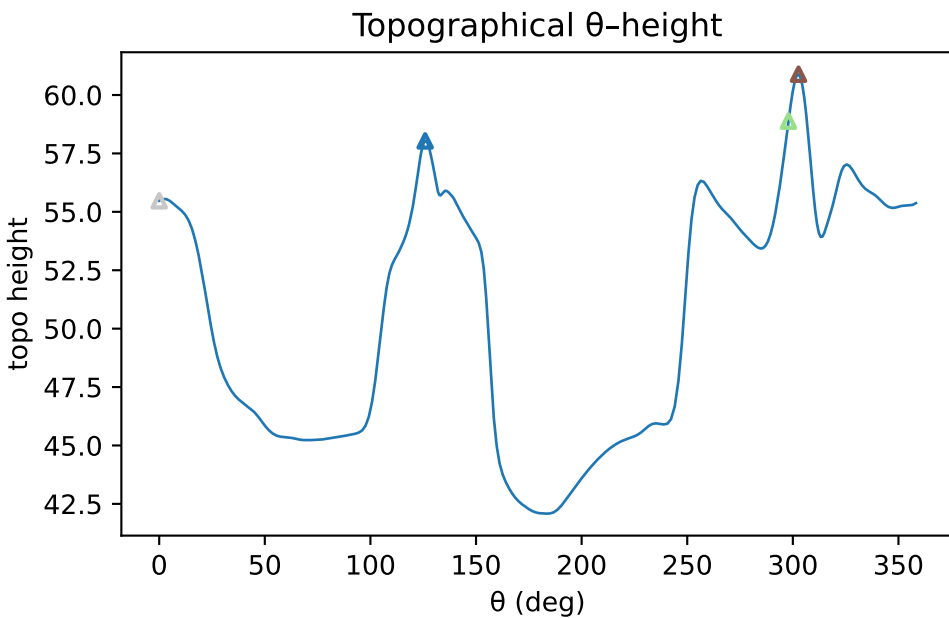
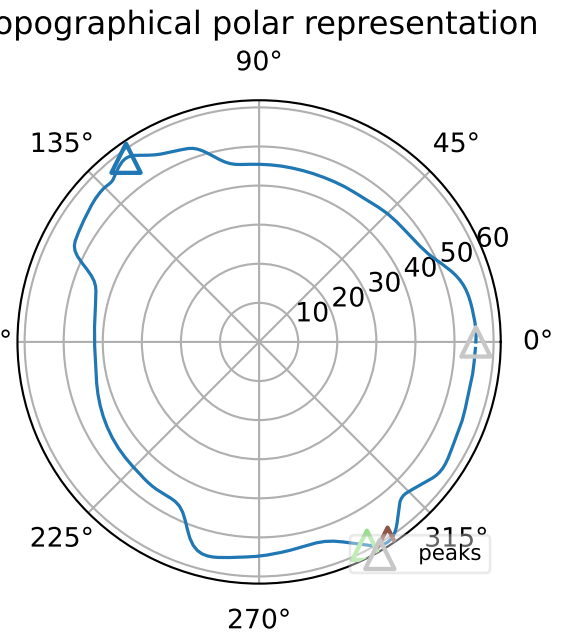
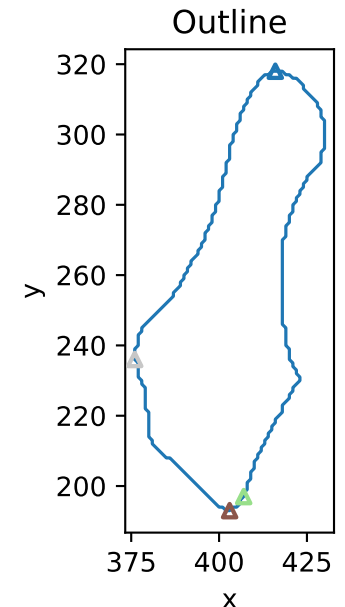
Frame 13 | t=227.000



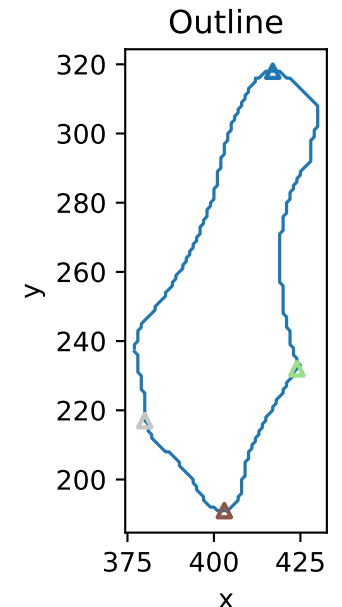
Frame 14 | t=228.000



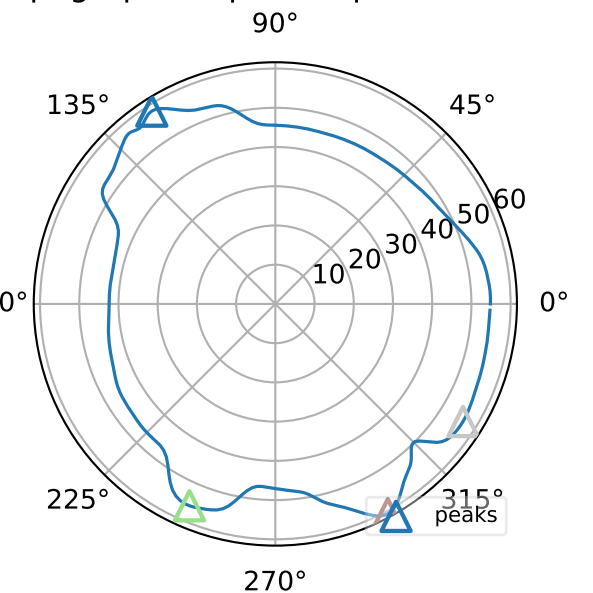
Frame 15 | t=229.000



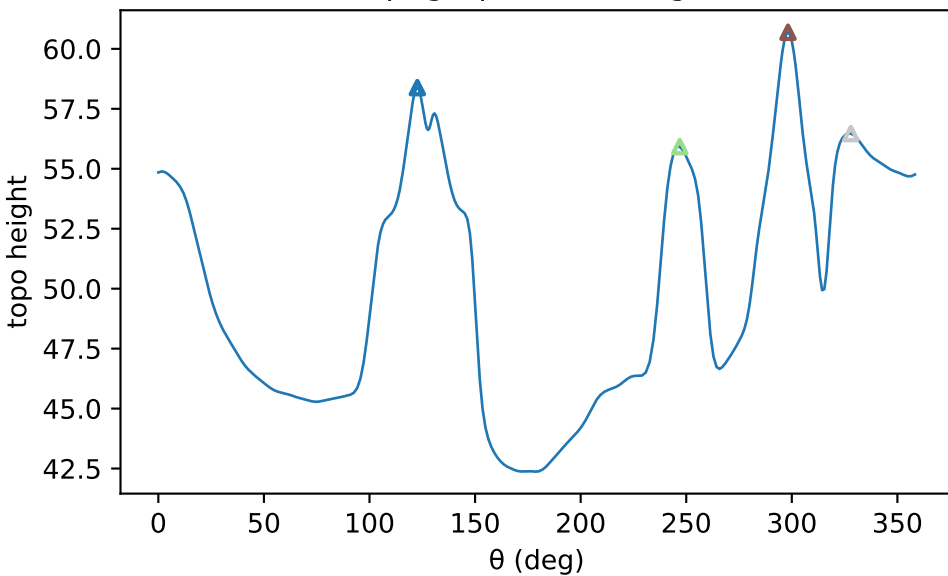
Frame 16 | t=230.000



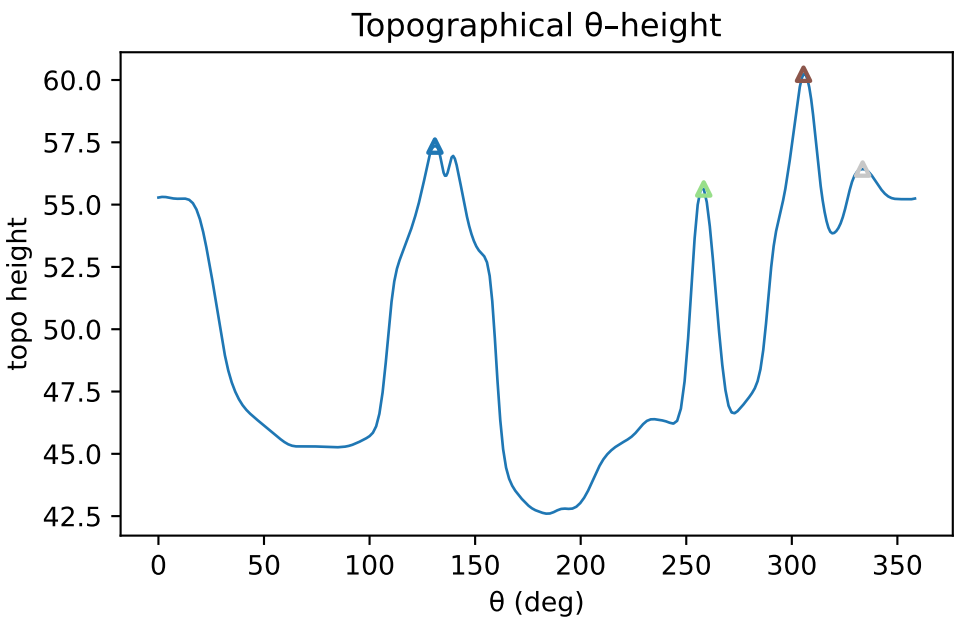
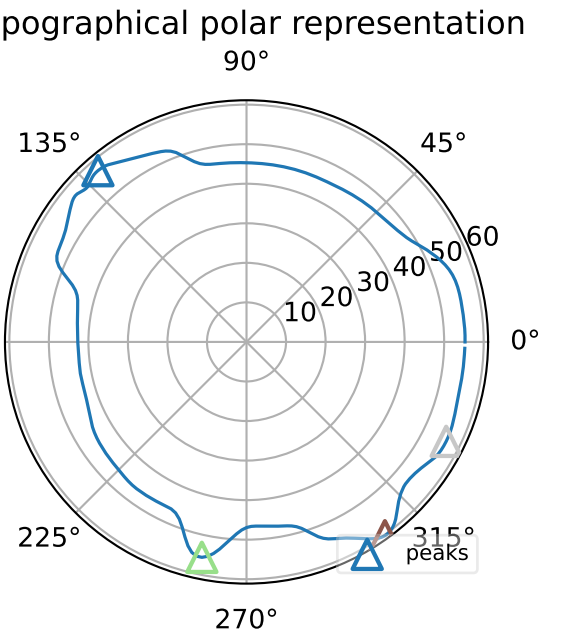
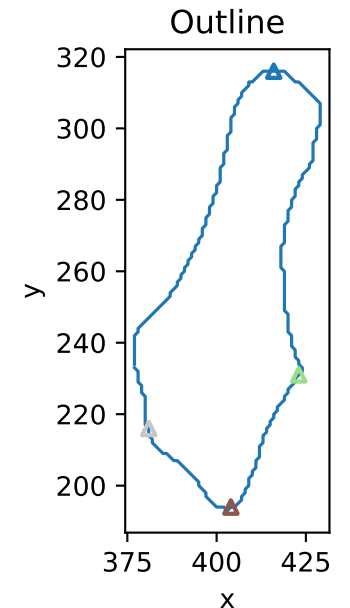
Topographical polar representation



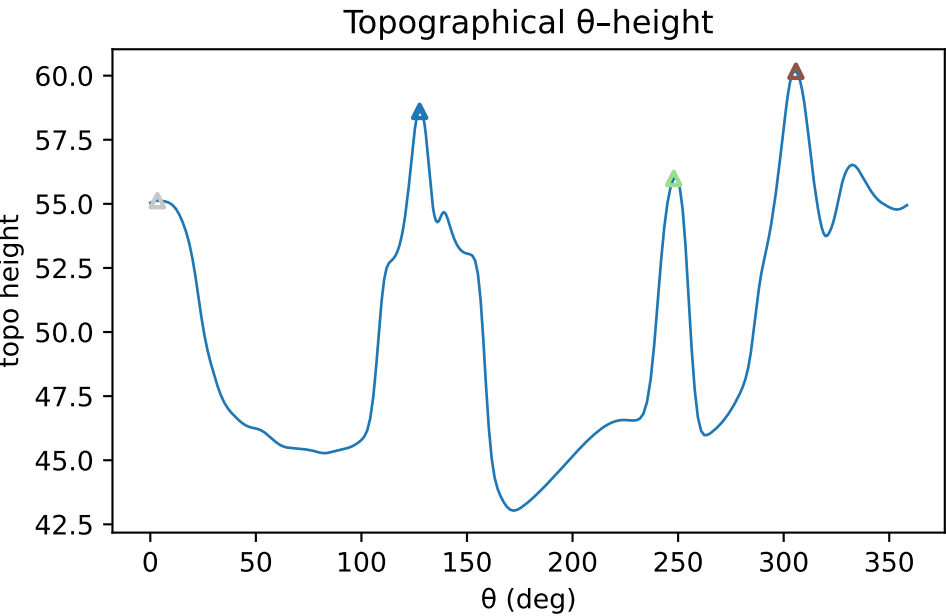
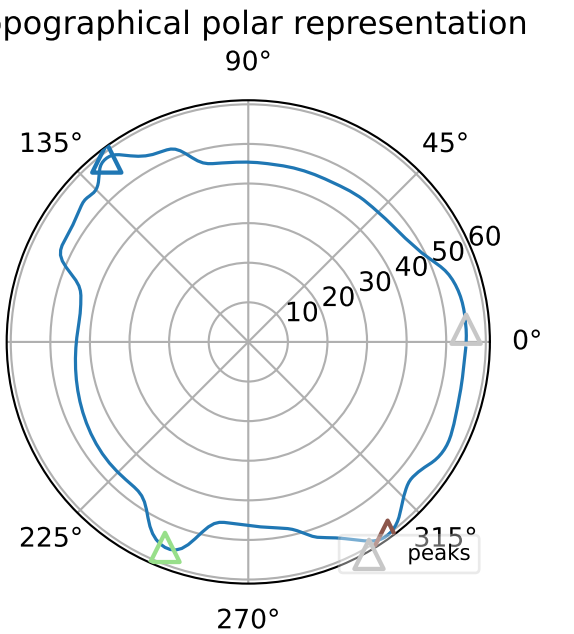
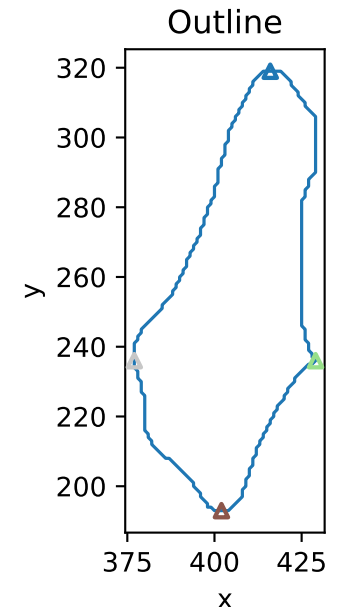
Topographical  $\theta$ -height



Frame 17 | t=232.000



Frame 18 | t=233.000



Frame 19 | t=235.000

